

تشخیص حجم ترافیک خودروهای چهارراه بکمک تصاویر دوربین[®]

عبدالله ناروئی	محمود فتحی	امین الله مه‌آبادی
مدیر تحقیقات و توسعه	عضو هیئت علمی دانشکده	عضو هیئت علمی دانشکده فنی
شرکت قلمرو نیک	کامپیوتر	مهندسی دانشگاه شاهد
	دانشگاه علم و صنعت ایران	

narouie@gmail.com mahfathy@lust.ac.ir mahabadi@shahed.ac.ir

چکیده

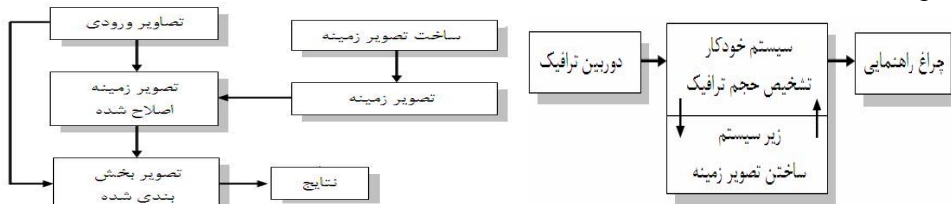
در این مقاله سیستم جدید تشخیص حجم ترافیک^۱ خودروهادر چهارراه را که یک سیستم ویدیویی خودکار برای محاسبه حجم ترافیک خودروهای عبوری جهت کنترل چراغهای راهنمایی چهارراه است ارائه می-شود. هر خیابان و رویدی چهارراه دارای یک دوربین می‌باشد. عملیات شامل دو مرحله ایجاد تصویر بلادرنگ زمینه (خیابان بدون ماشین) و محاسبه حجم خودروهای عبوری است. تصاویر زمینه^۲ در حین-کار سیستم ساخته و بروز می‌شوند سپس حجم ترافیک از ازدحام خودروهای خیابان‌های ورودی به چهارراه محاسبه و با مقایسه حجم ترافیک و با صدور فرمانی^۳ مربوطه چراغهای چهارراه تنظیم می‌گردد. سیستم بصورت فازی^۴ عمل می‌کند و برای تست از چهار دسته تصویر با کیفیت‌های متفاوت استفاده شده که با افزایش کیفیت تصاویر، دقت نتایج بهتر می‌شود. اشیاء متحرک در پیاده‌رو و سمت دیگر خیابان اثربردار ندارند و حذف می‌گردند. سیستم ۰۱ فریم بر ثانیه را برای هر دوربین پردازش می‌کند و با افزایش فریم‌ها نتایج بهبود می‌یابد. سیستم پیشنهادی در مقابل تغییرات آرام نور محیط^۵ مقاوم و تا حدودی تغییرات ناگهانی را تحمل می‌کند و نسبت به شعاع پوشش دوربین وابستگی ندارد. اگر سرعت حرکت خودروها کم و مناسب با سرعت حرکت چهارراه باشد، بصورت بلادرنگ^۶ عمل می‌کند.

کلمات کلیدی: تحلیل ترافیک^۷، تصاویر ویدیویی، دوربین ترافیکی، تصویر زمینه، بخش‌بندی تصویر^۸، تفاصل-گیری، سایه، رشدناحیه^۹.

برای طراحی سیستم کنترل ترافیک در یک موقعیت خاص، پارامترهای مربوط به حرکت خودروها بدهست می- آیندکه بر حسب نوع سیستم متغیر است [1]. این پارامترها می‌توانند حجم ترافیک، نوع خودروها، تعداد خودروها، سرعت خودروها، تخلفات رانندگی، حوادث رانندگی و مانند آن باشند [28]. به علت وجود تفاوت در پارامترهای موردنظر، روشهای متفاوت مورد استفاده قرار می‌گیرند [18, 27]. یک روش معمول استفاده از نیروی انسانی مشاهده‌گر جهت جمع‌آوری اطلاعات واستنتاج پارامترهای موردنظر اطلاعات بدهست آمده است که ابزارهای فیزیکی نیز می‌توانند مورد استفاده قرار گیرند [31]. روشهایی که فعلاً بیشترین استفاده را در شمارش تعداد اتومبیل‌ها و تخمین سرعت آن‌ها دارد، استفاده از حلقه‌های مغناطیسی نصب شده کف‌خیابان می‌باشد. روشهایی مانند استفاده از حلقه‌های مغناطیسی، سنسورهای فشار، امواج ماوراء صوت و دوربین‌های ویدیویی در بسیاری از کشورها مرسوم است. بررسی تصاویر ویدیویی از خطای کاحد و بررسی نتایج حاصل را دقیق‌تر می‌کند. از تصاویر می‌توان بعنوان اسناد مهم برای استنتاج‌های دیگر استفاده کرد که طبیعتاً ترکیب سیستم‌های مختلف دقت در محاسبه پارامترها و نتایج را افزایش می‌دهد [5-1]. سیستم خودکار کنترل ترافیک ویدیویی امتیازات بسیار زیادی دارد. اولاً دوربین پارامترهای بیشتری (مانند طبقه‌بندی نوع خودرو، تعداد خودروها، حجم ترافیک و غیره) را برای بررسی ارایه می‌دهد. ثانیاً، نصب دوربین‌های ویدیویی^۱ بسیار آسان‌تر و کم هزینه‌تر از حلقه‌های مغناطیسی^{۱۲} و مانند آن است. ثالثاً، دیدگسترده دوربین می‌تواند جایگزین چندین سنسور^{۱۳} یا حلقه‌مغناطیسی گردد. رابعاً، برخلاف امواج ماوراء صوت^{۱۴} یا حلقه‌های مغناطیسی استفاده از دوربین برای انسان کاملاً بیخطر است [2-3]. سیستم‌های خودکار کنترل ترافیک ویدیویی می‌توانند دردو حالت بلاذرنگ و غیرمستقیم^{۱۵} مورد استفاده قرار گیرند [38]. مثلاً برای تعیین زمان تعویض چراغهای راهنمایی یا تشخیص و ثبت تخلفات سیستم در حالت غیرمستقیم استفاده می‌شود در حالیکه کنترل ترافیک در محله‌ای پرترکم و همراه با تغییرات شبانه روزانه، بصورت بلاذرنگ بکار می‌رود. تشخیص خودکار ترافیک با استفاده از روشهای ویدیویی، بدلاً لی بطور گسترشده مورد استفاده قرار نگرفته است. اولاً این سیستم‌ها دارای محدودیت کارآیی هستند و مثلاً با ازدحام زیاد، سایه‌های بلند و تغییرات نور شب و روز مشکل دارند.

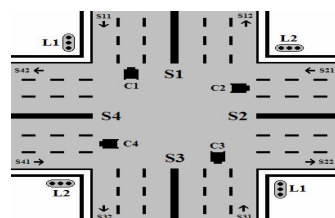
[2]. ثانیا هزینه تولید آنها بسیار بالا است. ثالثا وجود خطوط ارتباط سریع انتقال تصاویر دوربین‌ها به پردازشگر لازم است. رابعا برای عملیات بلاذرنگ به سخت افزار پیشرفته نیاز است.

سیستم از دو بخش اصلی ساختن تصویر زمینه و محاسبه حجم ترافیک تشکیل شده که وظیفه بخش اول به دست آوردن تصویر زمینه یا مرجع^{۱۶} از فریم‌های ورودی و ذخیره آن است. بخش دوم برای محاسبه حجم ترافیک با تصاویر ورودی، تصویر زمینه را اصلاح و نهایتاً تصویر بخش‌بندی شده ورودی را بعنوان تصویر نهایی ارائه می‌کند. نتایج مطابق الگوریتم شکل ۱ از تصویر بخش‌بندی شده بدست می‌آیند. در ادامه مقاله، اجزایی سیستم تعریف و مدل ارائه شده یک چهارراه مورد بحث قرار می‌گیرد. سپس الگوریتم کار برای ساختن تصاویر زمینه معرفی می‌گردد. در بخش بعدی روش تشخیص حجم ترافیک معرفی و در انتها نتایج حاصل بیان می‌شود.



شکل ۱ الگوریتم تشخیص حجم ترافیک خودرو

۲- مدل چهارراه



شکل ۲ مدل چهارراه و موقعیت دوربینها

در سیستم ارائه شده چهارراه و محل دوربینها مطابق شکل ۲ مدل شده است. از آنجا که رنگ چراغ تنها برای خودروهای وارد شونده به چهارراه اهمیت دارد در هر خیابان منتهی به چهارراه، تنها بخش ورودی به آن چهارراه در نظر گرفته شده و با نصب یک دوربین بر روی هر ورودی، تنها ترافیک خودروهای در حال حرکت به سمت دوربین محاسبه می‌شوند. ترافیک ورودی، به تعداد لاین‌های^{۱۷} تشکیل‌دهنده خیابان، تقسیم‌بندی شده و حجم ترافیک در هر لاین به صورت جداگانه محاسبه و نمایش داده می‌شود. هر دو خیابان رو بروی هم

یک خیابان واحد را در یک چهارراه می‌سازند و دارای یک چراغ راهنمایی مشترک هستند، با جمع حجم‌ورودی‌ها و مقایسه آن با مقدار متضاد خیابان متقاطع، می‌توان الگوریتم کنترل چراغ راهنمایی در یک چهارراه را بدست آورد. با توجه به شکل ۲، تصاویر هر یک از خیابان‌های ورودی S_{21} ، S_{31} و S_{41} جداگانه توسط دوربین‌های C_1 ، C_2 ، C_3 و C_4 ارسال و پس از محاسبه حجم ترافیک، حجم S_{11} و S_{31} باهم جمع و با مجموع حجم‌های S_{21} و S_{41} مقایسه می‌گردد تا نهایتاً وضعیت دوچراغ L_1 مربوط به خیابان S_1 ، S_3 و L_2 مربوط به خیابان S_2 ، S_4 مشخص گردد. با فرض آنکه حجم خودرو مربوط به ورودی‌های S_{21} ، S_{11} و S_{41} بترتیب V_{21} ، V_{11} و V_{41} باشد، حجم ترافیک را مطابق رابطه ۱ داریم. با توجه به اینکه در رابطه ۱، R_1 حجم ترافیک در دو ورودی روبروی S_{11} و S_{31} (یعنی خیابان L_1 چهارراه) و R_2 حجم ترافیک در دو ورودی روبروی S_{21} و S_{41} (یعنی خیابان L_2 چهارراه) می‌باشد، رنگ چراغ‌های L_1 و L_2 بصورت ساده از رابطه ۲ بدست می‌آید. رنگ چراغ خیابان با حجم ترافیک کم، قرمز و با حجم ترافیک بالا سبز است و در صورت تساوی زرد خواهد بود.

$$\begin{aligned} R_1 &= V_{11} + V_{31} \\ R_2 &= V_{21} + V_{41} \end{aligned} \quad (1)$$

$$\begin{cases} \text{if } (R_1 = R_2) & L_1 : L_2 \Rightarrow \text{Yellow} \\ \text{else if } (R_1 < R_2) & L_1 \Rightarrow \text{Red}, L_2 \Rightarrow \text{Green} \\ \text{else if } (R_1 > R_2) & L_1 \Rightarrow \text{Green}, L_2 \Rightarrow \text{Red} \end{cases} \quad (2)$$

۳- تصویرزمنه

سیستم پیشنهادی از ترکیب روش‌های پردازش تصویر و تحلیل تصاویر متوالی ترافیکی استفاده کرده که اصلاحاتی در تکنیک‌های موجود و استفاده از الگوریتم‌های جدید نیز صورت گرفته است. خروجی سیستم می‌تواند شامل سیگنال‌های لازم برای کنترل و صدور فرمان به چراغ‌های راهنمایی باشد. استفاده از تصویرزمنه در سیستمهایی که از روش زمینه برای تشخیص و جداسازی حرکت استفاده می‌کنند، کاملاً ضروری است [34]. یک راه حل ساده، استفاده از تصویر اولیه ذخیره شده بازمینه ثابت و از قبل تهیه شده (در محیط خیابان بدون وجود اشیاء متحرک مانند خودرو) است. گرچه این روش در محیط‌های بسته و بدون تغییرات نور کاملاً جواب می‌دهد، اما در محیط‌های باز و در معرض نورخورشید با مشکل مواجه است و تصویر زمینه ثابت(بدون تغییر و اصلاح) در چنین شرایطی کاربرد ندارد. مشکل دیگر گرفتن تصویر بدون حضور اشیاء متحرک در محیط‌های شلوغ خصوصاً خیابان می‌باشد که در بعضی شرایط این کار تقریباً غیر ممکن است. لذا بنظر می‌رسد چاره‌ای جز ساختن بلاذرنگ تصویر زمینه از تصاویر ورودی اشیاء و اجزاء متحرک و بروز کردن مداوم آن نیست. البته این روش نیز خود با مشکلاتی همراه است ولی بدایل مذکور، تنها راه حل موجود می‌باشد و سیستم از آن استفاده کرده است. حصول تصویر کیفی زمینه دارای محدودیت‌هایی است و باید: ۱- تعداد فریم‌های مورد استفاده در ساخت تصویر مرجع زیاد باشد. ۲- خودروها با فاصله از هم حرکت کنند و مدت زمان زیادی توقف نداشته باشند. ۳- خودروها و اشیاء متحرک با رنگ‌های متفاوت و گوناگون در قسمت‌های مختلف تصاویر ظاهر شوند. ۴- بعلاوه در محیط‌های بسته و باز همواره تغییراتی در محیط ایجاد می‌شود که می‌توان از آنها به عنوان تغییرات زمینه نام برد؛ این تغییرات می‌توانند محلی باشند و بخشی از محیط را شامل شوند و یا سراسری بوده و کل تصویر محیط را تحت تأثیر قرار دهند. بسیار مهم است که مدل ساخته شده از زمینه بتواند این تغییرات را تحمل کند و مدل پیشنهادی این چنین است.

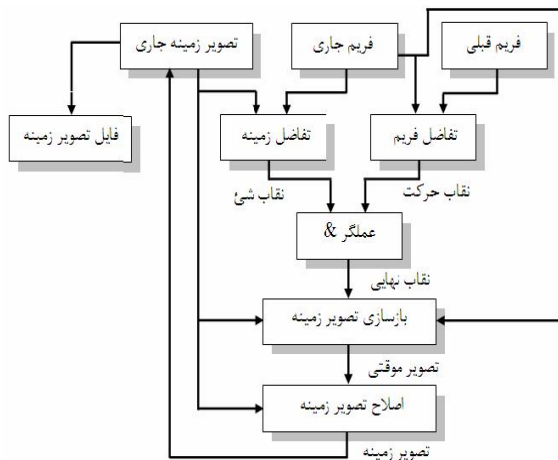
۳-۱- تغییرات در زمینه

به طور عمده دونوع تغییر در محیط یا زمینه ممکن است رخدده: الف-تغییرات نور^۱ یا روشنایی و ب- تغییرات پویا^۲ [34]. در محیطهای عملی، الف- همواره سه نوع تغییرات نوریا روشنایی در محیط اتفاق میافتد که عبارتند از: ۱- **تغییرات تدریجی نور** (در محیطهای آزاد یا بسته زیرسقف) به علت تغییر موقعیت خورشید ایجاد و تغییر کلی در نظر گرفته میشوند. نتیجه تغییر نور، تغییر سطح روشنایی در اشیاء و سطوح در معرض روشنایی است و بصورت آرام و تدریجی خواهد بود. این تغییر نور از نوع سراسری است. ۲- **تغییرات ناگهانی نور** میتواند در محیطهای بسته مثلاً با روشن یا خاموش کردن لامپ و در محیطهای باز با عبور یک ابر تیره از محیط اتفاق بیفتد. در این حالت روشنایی اشیاء و سطوح بطور همزمان تغییر میکند. ۳- **سایه‌ها**^۳ توسط اشیاء زمینه که بدون حرکتند و یا اشیاء متحرک که متعلق به زمینه نیستند، ایجاد میشوند. این تغییرات قسمتی از محیط را تحت تأثیر قرار میدهد. همه سطوح واقع در سایه کاهش روشنایی داشته و با توجه به جهت و فاصله نسبت به منبع نور تغییرات آرام روشنایی خواهند داشت. ب- **تغییرات پویا**: این نوع تغییرات در اثر عواملی غیر از روشنایی و نور محیط ایجاد شده و عبارتند از: ۱- حرکت در بخشی از زمینه که ممکن است در اثر حرکت برگ درختان به علت وزش باد یا حرکت امواج آب و یا برف و باران ایجاد شود یعنی روشنایی بخشی از تصویر بصورت تصادفی تغییر کند. ۲- حرکت سراسری که بر اثر تغییر- کوچکی در موقعیت دوربین بر اثر وزش باد یا حرکت وسایل نقلیه سنگین یا باران در محیطهای آزاد اتفاق میافتد. ۳- **تغییرات فیزیکی شامل هر تغییری در ظاهر محیط و زمینه** بر اثر تغییر موقعیت اشیائی که قبل متعلق به زمینه بوده اند است [35-38].

۲-۳- ساخت تصویر زمینه

روش ارائه شده برای ساخت و اصلاح تصویر زمینه روش جدید ترکیبی از روش تقاضل پویا^۱ و استفاده از الگوریتم های جدید است (شکل ۲۱, ۲۵) [3]. پس از ساخت تصویر زمینه، این تصویر بعنوان مرجع ذخیره و سپس بخش محاسبه حجم تردد، از این تصویر (به عنوان تصویر زمینه مرجع) استفاده و عمل اصلاح تصویر زمینه را (که بیشتر برای هماهنگی با تغییرات روشنایی و حرکات جزئی زمینه در طول مدت استفاده از

سیستم است) صورت می‌دهد. ورودی بخش ساختن تصویر زمینه، دنباله تصاویر متوالی از یک خیابان منتهی به چهارراه و خروجی آن نیز تصویر زمینه مربوط به آن ورودی است. از تفاضل تصویر فریم‌جاری و زمینه‌جاری و آستانه‌گیری از نتیجه تفاضل، یک مقدار باینری بعنوان نقاب شیء^{۲۲} (مطابق رابطه^۳) می‌باشد. از تفاضل فریم‌جاری و فریم قبلی و آستانه‌گیری^{۲۳} از نتیجه تفاضل، نقاب حرکت^۴ (مطابق رابطه^۴) بدست یابیم. از تفاضل فریم‌جاری و فریم قبلی و آستانه‌گیری^{۲۴} از نتیجه تفاضل، نقاب نهایی بدست می‌آید.



شکل ۳ اصلاح تصویر زمینه

در روابط^۳ و ^۴، α و β مختصات پیکسل، CF تصویر فریم‌جاری، CB تصویر زمینه‌جاری، PF تصویر فریم قبلی و T مقدار آستانه می‌باشد. پس از محاسبه نقابهای شیء و حرکت با AND کردن این دونقاب، نقاب نهایی بدست می‌آید (رابطه^۵). با استفاده از این نقاب می‌توان تصویر زمینه‌موقت را بدست آورد (مطابق رابطه^۶) که IB تصویر زمینه‌موقت است. در آخر، تصویر زمینه‌نهایی به دست می‌آید (مطابق رابطه^۷).

$$\begin{aligned}
 Object_Mask(i, j) = & \begin{cases} 1 & \text{if } |CF(i, j) - CB(i, j)| > T \\ 0 & \text{else} \end{cases} & \text{(۱)} \\
 Motion_Mask(i, j) = & \begin{cases} 1 & \text{if } |CF(i, j) - PF(i, j)| > T \\ 0 & \text{else} \end{cases} & \text{(۲)} \\
 IB(i, j) = & \begin{cases} CF(i, j) & \text{if } Mask(i, j) = 1 \\ CB(i, j) & \text{if } Mask(i, j) = 0 \end{cases} & \text{(۳)} \\
 CB(i, j) = & \alpha \cdot IB(i, j) + (1 - \alpha) \cdot CB(i, j) & \text{(۴)}
 \end{aligned}$$

در رابطه^۷، IB تصویر زمینه‌موقتی، CB در سمت راست رابطه، تصویر زمینه‌جاری مرحله قبل و CB در سمت چپ رابطه، تصویر جدید زمینه‌جاری می‌باشد. متغیر α پارامتر یادگیری^{۲۵} است که تأثیر زیادی در نتیجه نهایی دارد و می‌تواند به عنوان یک مقدار ثابت و بدون تغییر مورداستفاده قرار گیرد اما ثابت بودن α مشکلاتی

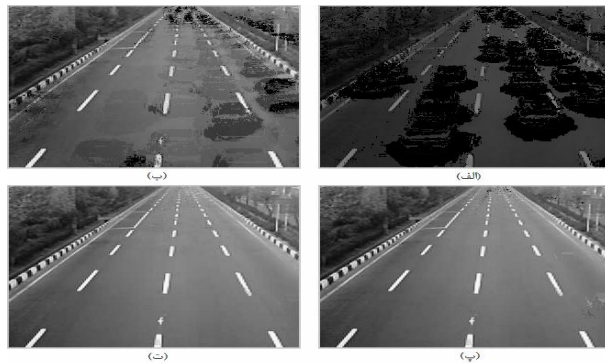
ایجاد می‌کند. مثلاً مقادیر بزرگتر α ، تغییرات را به سرعت منعکس می‌کند، بنابر این ممکن است پس از حصول یک تصویر زمینه خوب، با عبور یک شیء یا خودروی دارای سرعت کم، تاثیر آن در زمینه برای مدتی به نمایش درآید. از طرفی مقدار کم α ، تغییرات سریع مانند تغییر ناگهانی نور محیط، مدت زمان و تعداد فریم‌های بیشتری برای تطابق زمینه طلب می‌کند اما در تصویر نهایی از زمینه کیفیت‌بهتری ارائه می‌کند[6]. تعیین مقدار α ، باید تناسبی بین کیفیت بهتر و سرعت بیشتر برقرار گردد. با استفاده از تصاویر ورودی می‌توان به رابطه‌ای برای تعیین مقدار α در شرایط مختلف دستیافت و باید بگونه‌ای باشد که وقتی شرایط نور محیط به سرعت تغییر می‌کند، مقدار α بزرگتر شده و در موقعی که تغییر نور سریع وجود ندارد، مقادیر کوچکتری برای α در نظر گرفته شود. می‌توان با استفاده از تغییرات نور، یک مقدار قابل تطبیق برای α تعیین کرد. مقدار میانگینی از فریم‌جاري و فریم‌قبلی برای محاسبه α بکار می‌رود. خودروهای در حال حرکت نباید عنوان تغییرات نور در نظر گرفته شوند لذا میانگین‌گیری باید تنها در قسمت‌های غیر متحرک انجام گیرد (معادلات ۸ تا ۱۰).

$$\text{Area_Unmoved} = \sum_{i,j} (1 - \text{Motion_Mask}(i,j)) \quad (8)$$

$$\text{Sum_Unmoved} = \sum_{\substack{i,j \\ \text{Motion_Mask}(i,j)=0}} |\text{CF}(i,j) - \text{PF}(i,j)| / 256 \quad (9)$$

$$\beta = \frac{\text{Sum_Unmoved}}{\text{Area_Unmoved}} \quad \alpha = +/\sqrt{\alpha} + +/\sqrt{\beta} \quad (10)$$

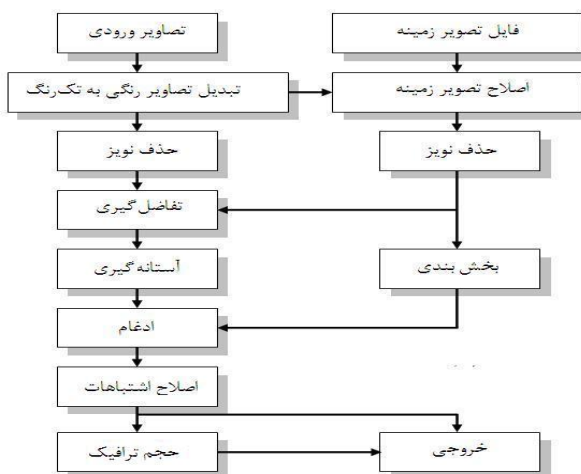
در روابط ۹ تا ۱۰، Area_Unmoved مشخص‌کننده بخش‌های بدون حرکت بین فریم‌جاري و فریم‌قبلی، Sum_Unmoved جمع نرمال‌سازی شده قدر مطلق اختلاف سطح روشنایی بین فریم‌جاري و فریم‌قبلی در نقاطی از تصویر که بدون حرکت هستند، و β از تقسیم این دو مقدار بدست می‌آید. بنابر این تغییرات سریع در روشنایی محیط بین دو فریم متواالی با توجه به رابطه ۹، مقادیر بزرگتری از β را تولید می‌نماید که α بزرگتری را نتیجه می‌دهد. ثابت‌های ۱/۰ و ۰/۹ حساسیت مدل زمینه^{۲۶} را به تغییرات نور کنترل می‌کنند و بهتر بدهند [۲۶, ۱۶]. شکل ۴ نمایش نتیجه استفاده این روش و تصاویر حاصل پس از به ترتیب ۱، ۵، ۱۰ فریم ورودی است که هرچه تعداد فریم‌ها بیشتر شود کیفیت تصویر زمینه نیز افزایش می‌یابد.



شکل ۴ تصویر زمینه حاصل (الف) بعد ۱ فریم، (ب) بعد ۵ فریم، (پ) بعد ۱۰ فریم، (ت) بعد ۲۰ فریم

۴- تشخیص حجم ترافیک

الگوریتم محاسبه حجم ترافیک مطابق شکل ۵ است. ورودی‌های این سیستم چهار رشته تصویر متواالی جداگانه و چهار تصویر زمینه متضاد با رشتہ تصاویر ورودی می‌باشند. خروجی آن نیز نمایش حجم ترافیک بdest آمده در هر یک از چهار ورودی^{۲۷} بطور جداگانه (به قریبی لاینها) و هریک از دو خیابان ایجاد کننده چهارراه و مقایسه آنها است. در اولین مرحله، چهارسری تصویر از چهار ورودی به چهارراه، به سیستم وارد می‌شوند. سپس چهارتصویر زمینه هر کدام مربوط به یکی از ورودی‌ها (بدون وجود خودروها و اشیاء متحرک) و قبل ساخته شده را مانند شکل ۷ بار می‌کند.



شکل ۵ الگوریتم محاسبه حجم ترافیک



شکل ۷ تصاویر زمینه چهار رودی



شکل ۸ چهار رودی چهار راه

۴-۱- تبدیل به تصویر خاکستری

مرحله اول، پس از ورود تصاویر رودی رنگی عمل تبدیل به تصاویر سطح خاکستری^{۲۸} انجام می شود و با توجه به اینکه تصویر زمینه را با سطوح خاکستری ذخیره دارد، این عملیات تنها روی تصاویر رودی انجام می پذیرد لذا سیستم قادر است با دوربین رنگی و تکرنگ کارکند. روش سیستم تبدیل تصاویر رنگی با فرمت RGB به سطح خاکستری مدل رنگ YIQ می باشد که این تبدیل با استفاده از عملیات ماتریسی صورت می گیرد. مؤلفه ۲ اطلاعات روشنایی و مؤلفه های I و Q اطلاعات رنگ را شامل می شوند (ماتریس رابطه ۱۱). مقدار سطح خاکستری تصویر در مؤلفه ۲ قرار می گیرد که برای هر پیکسل از رابطه ۱۲ محاسبه می شود [37].

$$\begin{bmatrix} Y \\ I \\ Q \end{bmatrix} = \begin{bmatrix} 0.299 & 0.587 & 0.114 \\ 0.596 & -0.275 & -0.321 \\ 0.212 & -0.523 & 0.311 \end{bmatrix} \begin{bmatrix} R \\ G \\ B \end{bmatrix} \quad (11) \quad \text{Gray}(i,j) = 0.299R(i,j) + 0.587G(i,j) + 0.114B(i,j) \quad (12)$$

۴-۲- اصلاح تصویر زمینه

مرحله دوم، اصلاح تصویر زمینه با استفاده از تصاویر رودی تکرنگ است. برای افزایش کارآمدی و سرعت و اجتناب از مشکلاتی که در بخش قبل به آنها اشاره شد، از روش آستانه‌گیری (مطابق رابطه ۱۳) برای بازسازی و اصلاح تصویر زمینه استفاده می شود [38].

$$CB(i,j) = \begin{cases} CF(i,j) & \text{if } |CF(i,j) - CB(i,j)| < T \\ CB(i,j) & \text{else} \end{cases} \quad (13)$$

در رابطه ۱۳، CB تصویر زمینه، CF تصویر رودی و T مقدار آستانه (ثابت ۲۰ فرض شده) است. لذا تغییرات کوچک مانند تغییرات آرام نور و سایه های اجسام ثابت در اثر تغییر جهت تابش خورشید، سرعت

در تصویر زمینه منعکس و تصویر زمینه را به مرور زمان با این تغییرات هماهنگ و اصلاح مینماید. بدیهی است در این روش میزان تطابق با تغییرات ناگهانی، به مقدار آستانه یا A بستگی دارد. مقادیر بزرگ آستانه موجب میشوند که تغییر مکان اجسام متحرک و خودروها در زمینه منعکس شود و مورد نظر سیستم نیست. همچنین مقادیر کوچکتر A ، احتمال عدم تطابق با تغییرات ناگهانی نور را بیشتر میکند. این تغییرات که در استفاده از دوربین‌های ارزان قیمت در طول مدت تصویربرداری بسیار اتفاق میافتد، با مقادیر کوچک آستانه، ممکن است تغییرات در تصویر زمینه ثبت نشده و پس از مدت طولانی و افزایش حجم تغییرات محیطی (مانند شدت نور و انباشتگی آن) بمرور زمان، نتایج نادرستی را تولید نماید.

۳-۴- حذف نویز

مرحله سوم، کاهش اثر نویز با یک نقاب 3×3 و روش میانگین^{۲۹} رابطه ۱۴ است [20]. عملیات حذف نویز در تصویر زمینه و هم در تصویر ورودی صورت میگیرد (تصویر زمینه در شکل ۸).

$$R = \sum_{i=1}^9 Z_i W_i = Z_1 W_1 + Z_2 W_2 + \dots + Z_9 W_9 \quad (14)$$



شکل ۸ (الف) قبل میانگین، (ب) بعد

میانگین

۴-۴- بخش‌بندی تصویر

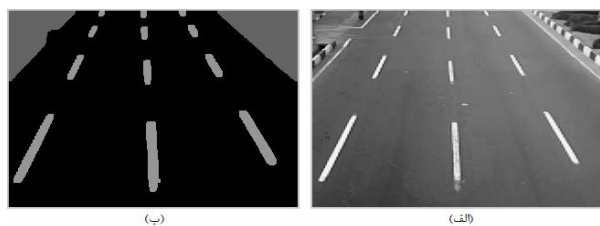
از این پس، عملیات بصورت موازی در دو بخش اصلاح زمینه و محاسبه ترافیک پیش می‌رود. یک بخش، بخش‌بندی تصویر است که روی تصویر زمینه اعمال می‌شود (و هدف اینکار جدا کردن محدوده سمت چپ خیابان است) [15-11]. باتوجه به تعریف ورودی چهارراه، باید تنها خودروهایی که به چهارراه وارد میشوند و جهت حرکت آنها بطرف دوربین است، برای محاسبه حجم ترافیک در نظر گرفته شوند. لذا لازمست محدوده سمت چپ خیابان (یعنی مسیر عبور خودروها بسمت چهارراه) از بقیه قسمت‌ها جدا گردد تا هم حجم پردازش کاهش یابد و هم اشیاء متحرک غیر از خودروهای موردنظر، از محاسبات حذف شوند [23]. در

بسیاری از کاربردهای پردازش تصویر، لازم است که اشیاء از زمینه تصویر جدا و یا تصویر به قسمت‌های جداگانه‌ای تقسیم‌بندی شود که به این عملیات، بخش‌بندی تصویر گفته می‌شود. روش سیستم برای بخش‌بندی تصویر روش ناحیه گرا^۳ است. باید توجه کرد یک روش کلی که برای همه انواع تصاویر درست عمل کند وجود ندارد و دیگر اینکه هیچ روشی بطور دقیق و عالی عمل نمی‌کند[30,33,36,37].

روش سیستم پیشنهادی برای بخش‌بندی روش ناحیه‌گرا است. در رشد ناحیه با پیوستن پیکسل، پیکسل‌ها در نواحی بزرگتر گروه‌بندی می‌گردد و با پیوستن پیکسل‌ها انجام می‌شود. لذا یک یا چند پیکسل به عنوان بذر در نظر گرفته شده و سپس این پیکسل‌ها با همسایگانشان و براساس تشابه در سطح خاکستری یا خواص دیگر پیوند می‌خورند تا نواحی بزرگتری ایجاد شود. سیستم برای بخش‌بندی از روش رشد ناحیه با پیوستن پیکسل و شروع از یک نقطه به عنوان بذر استفاده می‌کند. یک یا چند نقطه تصویر متعلق به ناحیه مورد نظر، انتخاب و با یک سطح روشنایی مانند صفر علامتگذاری می‌شوند. سپس با پیمایش تصویر در چند جهت و استفاده از خاصیت سطح روشنایی در همسایگان پیکسل‌های برچسب خورده با مقدار صفر، اگر در محدوده یک مقدار آستانه با پیکسل برچسب خورده برابر بودند، به ناحیه مورد نظر اضافه می‌شوند، در غیر اینصورت بدون تغییر باقی می‌مانند. این عملیات روی کل تصویر انجام و در انتهای تمام محدوده موردنظر از خیابان ورودی به چهارراه با مقدار صفر جایگزین می‌شود. سپس با استفاده از تشخیص لبه، خطوط منقطع جداکننده لاین‌ها با سطح روشنایی ۱۵۰ علامتگذاری می‌گردد. اینکار جهت تقسیم خیابان به لاین‌های جداکننده آن لازم است. سپس با قیمانده تصویر به عنوان قسمت‌های غیر ضروري جهت پردازش با سطح روشنایی ۱۰۰ برچسب می‌خورد. پس سه ناحیه جداگانه در تصویر بدست می‌آید. ناحیه اول، محدوده خیابان ورودی به چهارراه است. ناحیه دوم، خطوط جداکننده لاین‌ها در وسط خیابان ورودی است. ناحیه سوم نیز بخش‌های غیرقابل پردازش در تصویر هستند که باید از محاسبات و اندازه‌گیری حذف شوند. نتیجه بخش‌بندی تصویر زمینه در شکل ۹ قابل مشاهده است.

از وظایف سیستم، تقسیم‌بندی خیابان ورودی به لاین‌های جدا کننده و اندازه‌گیری حجم بطور جداگانه در هر لاین و نمایش آن است. سعی شده تا حد ممکن جداسازی به دقت انجام گیرد تا نتایج بهتری بدست آید. فرض

در اینکار اینست که خطوط منقطع، یک خیابان را به اندازه‌های مساوی تقسیم می‌کند یعنی عرض تمام لاین‌ها در یک خیابان برابرند. حداکثر تعداد پنج لاین برای هر خیابان در نظر گرفته شده که در عمل نیز بیشتر از این تعداد مشاهده نمی‌شود. با فرض تساوی عرض لاین‌ها در یک خیابان، برای جداسازی خیابان به لاین‌های تشکیل‌دهنده آن، ابتدا تعداد خطوط تشکیل‌دهنده لاین‌ها در عرض خیابان به دست آمده، و عرض هر لاین با تقسیم عرض کل خیابان به تعداد خطوط به اضافه یک، محاسبه می‌شود.



شکل ۹ (الف) تصویر زمینه، (ب) تصویر بخش بندی شده

پس از محاسبه عرض لاین‌ها، هر لاین از سمت چپ با یک سطح روشنایی متفاوت با لاین‌ها و قسمت‌های دیگر بخش‌بندی شده حاصل از مرحله قبل، علامت‌گذاری می‌شود تا در مرحله محاسبه حجم مورد استفاده قرار گیرد. بدیهی است در این روش، دقت نتایج و حجم ترافیک هر لاین به کیفیت بخش‌بندی تصویر و جداسازی عرض خیابان ورودی به چهار راه بستگی زیادی دارد. تا این مرحله، تصویر زمینه بخش‌بندی شده و محدوده مورد نظر از خیابان از سایر بخش‌های غیر لازم جهت پردازش جدا گردیده است، همچنین محدوده مورد نظر به تعداد لاین‌های تشکیل‌دهنده آن تقسیم‌بندی شده و هر لاین نیز با یک سطح روشنایی متفاوت علامت‌گذاری شده تا این سطوح روشنایی بعنوان معیاری برای تشخیص حجم ترافیک هر لاین باشد.

۴-۵- تفاضل‌گیری

ورودی‌های این بخش، تصویر ورودی خاکستری بدون نویز و تصویر زمینه بدون نویز می‌باشند. خروجی آن یک تصویر حاصل از تفاضل^{۳۱} دو تصویر ورودی وزمینه مطابق رابطه ۱۵ است و در آن DF تصویر خروجی تفرقی شده، CF تصویر ورودی و CB تصویر زمینه هستند[37]. پس از تفاضل‌گیری برای تولید تصویر دودویی، از تصویر حاصل آستانه‌گیری می‌شود.

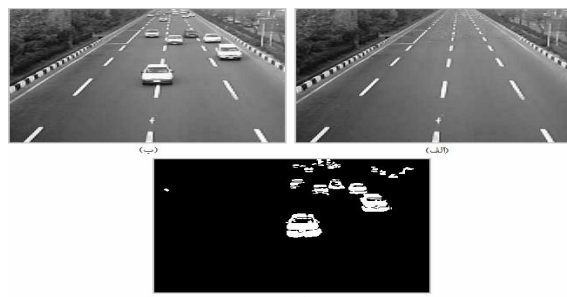
$$DF(i, j) = CF(i, j) - CB(i, j)$$

۴-۶. آستانهگیری

آستانهگیری روشی برای استخراج اشیاء از تصویر زمینه است و روش مآستانهگیری سراسری^{۳۲} میباشد [38]. مقدار آستانه در اینجا 10° فرض شده که تجربی بدست آمده و نتایج خوبی را تولید میکند (رابطه ۱۶) [8]. در رابطه ۱۶، BF تصویر باینری حاصل از آستانهگیری و DF تصویر خروجی از بخش تفاضل تصویرهای ورودی و زمینه میباشد. به این ترتیب اشیاء متحرک و خودروها، از زمینه و قسمت‌های بدون حرکت تصویر جدا و تصویر به دو بخش سیاه (زمینه) و سفید (اشیاء متحرک) تقسیم میشود. عملاً برای کاهش حجم پردازش‌ها و اجتناب از حلقه‌های تکراری، عمل تفاضل‌گیری و آستانهگیری با یکدیگر بصورت رابطه ۱۷ ادغام شده‌اند.

$$BF(i, j) = \begin{cases} 1 & \text{if } |DF(i, j)| > T \\ 0 & \text{if } |DF(i, j)| \leq T \end{cases} \quad (16) \quad BF(i, j) = \begin{cases} 1 & \text{if } |CF(i, j) - CB(i, j)| > T \\ 0 & \text{if } |CF(i, j) - CB(i, j)| \leq T \end{cases} \quad (17)$$

نتیجه این عملیات و مرحله قبل در شکل ۱۰ آمده است. با تفریق تصویر ورودی شامل اشیاء متحرک از تصویر زمینه بدون اشیاء متحرک و سپس آستانهگیری، یک تصویر باینری که در آن خودروهای متحرک با سطح روشنایی ۲۵۵ مشخص شده‌اند بدست می‌آید [40-43].



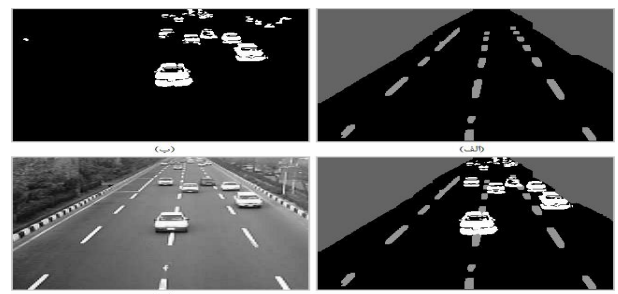
شکل ۱۰ (الف) تصویر زمینه، (ب) ورودی، (پ) باینری

۷-۶. ادغام

مرحله بعدی مرحله ادغام دو تصویر، یکی تصویر حاصل از بخش تفاضل‌گیری شامل زمینه و دیگری تصویر زمینه بخش‌بندی شده برای بخش‌های غیرقابل پردازش، خطوط منقطع جداکننده لاینها، ولاینها می‌باشد. در این مرحله دو تصویر ادغام می‌شوند تا تصویر نهایی بعنوان نتیجه تولیدگردد. تصویر نهایی یک

تصویر بخش‌بندی از چند قسمت مجزا با سطوح روشنایی متفاوت است. با توجه به اینکه تصویر بدست آمده در قسمت تفاضل تصویر و پس از مرحله آستانه‌گیری، شامل همه اشیاء متحرک بود، در این مرحله می‌توان خودروهای مورد نظر که در خیابان ورودی به چهارراه و در جهت دوربین در سمت‌چپ در حرکتند را از سایر اشیاء مانند عابرین پیاده در پیاده‌رو یا خودروهای سمت‌راست (طبق رابطه ۱۸) جدا کرد. به این ترتیب برای تمامی پیکسل‌های موجود، یک تصویر نهایی بخش‌بندی شده شامل خودروهای معرف حجم ترافیک، بخش غیرقابل پردازش و محدوده خیابان منتهی به چهارراه بدست می‌آید (شکل ۱۱).

$$SF(i, j) = \begin{cases} BF(i, j) & \text{if } (BF(i, j) = 255 \& SB(i, j) \neq 100) \\ SB(i, j) & \text{else} \end{cases} \quad (18)$$



شکل ۱۱ (الف) تصویر بخش‌بندی زمینه،
(b) تصویر باینری ورودی، (پ) ادغام تصاویر (الف) و (ب)، (ت) تصویر اصلی

۴-۸-۱- اصلاح اشتباهات

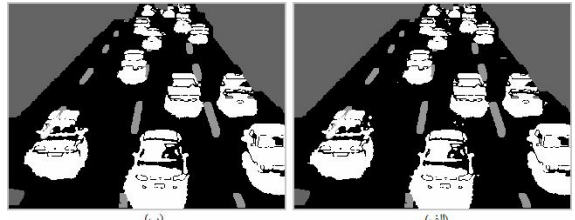
این مرحله تقریباً شبیه مرحله حذف نویز ولی برای اصلاح اشتباه است چون باید نقاطی که به اشتباه در قسمت بخش‌بندی یا تفاضل در یکدسته قرار گرفته‌اند، با سطح روشنایی همسایگان آن نقاط جایگزین و اصلاح شوند. تفاوت آن‌نیز با مرحله حذف نویز در نوع و بعد ناقاب‌های بکار رفته است. روش کار عبارتست از بدست آوردن سطح روشنایی همسایگان یک پیکسل در مرکز یک همسایگی 3×3 که اگر سطح روشنایی تمام همسایگان پیکسل مرکز با خود پیکسل متفاوت بود، پیکسل مرکز همسایگی با سطح روشنایی همسایگان خود جایگزین می‌شود (معادلات ۲۰ و ۲۱). برای حذف پیکسل‌های اشتباه از ناقاب‌هایی با بعد ۶، ۵، ۴، ۳، ۲ و ۱ استفاده شده تا

بیشترین میزان اصلاح در خطاهای مراحل بخش‌بندی و تقاضل‌گیری صورت‌گرفته و نتایج بهتری حاصل-گردد. نتیجه آن در شکل ۱۲ با حذف برخی نقاط و خطوط اضافی تصویر مشخص شده است.

$$W = \begin{array}{|c|c|c|} \hline 1 & 1 & 1 \\ \hline 1 & 1 & 1 \\ \hline 1 & 1 & 1 \\ \hline \end{array}$$

$$Z = \begin{array}{|c|c|c|} \hline - & - & - \\ \hline - & 127 & - \\ \hline - & - & - \\ \hline \end{array}$$

$$R = W_1 Z_1 + W_2 Z_2 + W_3 Z_3 + W_4 Z_4 + W_5 Z_5 + W_6 Z_6 + W_7 Z_7 + W_8 Z_8 \\ \text{if } (R = -) \quad Z_{\Delta} = -$$



شکل ۱۲ (الف) اصلاح نشده، (ب) اصلاح

شدہ

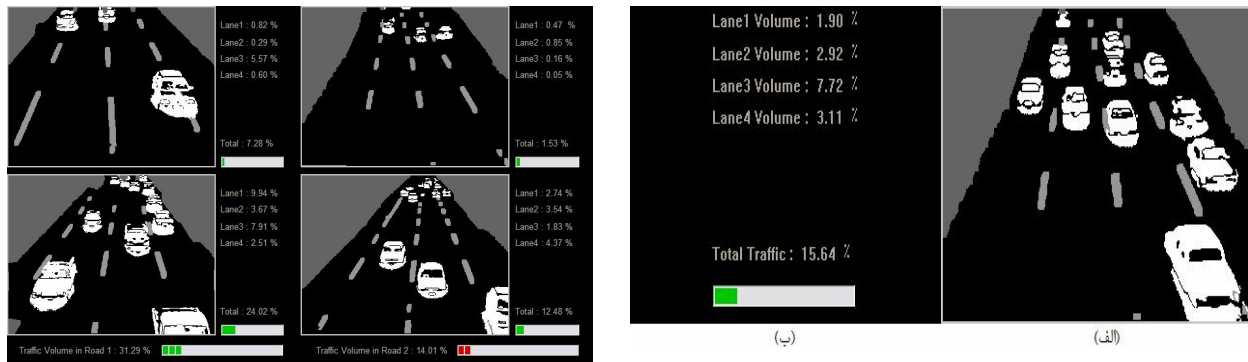
۹-۴-حجم ترافیک

با داشتن تصویر بخش‌بندی‌شده از ورودی و تصویر زمینه بخش‌بندی شده متناظر، که هر لاین در آن با یک سطح خاکستری علامت‌گذاری شده، می‌توان حجم کل ترافیک خودروهای ورودی بهیک چهارراه را به‌تفکیک هر لاین محاسبه نمود [33, 38]. حجم ترافیک نسبت حجم خودروها بسطح خیابان است که به درصد تبدیل و بعنوان حجم خام ارائه می‌شود. حجم ترافیک در هر لاین با شمارش تعداد پیکسل‌ها در آن لاین که سطح روشنایی‌اش در تصویر بخش‌بندی‌شده زمینه مشخص است، به عنوان C_i و تعداد پیکسل‌های سطح خیابان به عنوان B_i و تقسیم C_i ‌ها بر B_i ‌ها محاسبه می‌شود (فرمول ۲۱). حجم کل ترافیک خیابان برابر با مجموع حجم‌های بهدست آمده هر لاین می‌باشد.

$$\sum_{i=1}^{Lanes} \frac{C_i}{B_i} \quad (۲۱)$$

شکل ۳ نتایج یک ورودی شامل تصویر نهایی حاصل از ادغام، درصد حجم ترافیک هر لاین، درصد مجموع حجم لاین‌ها (یعنی حجم ترافیک دریک ورودی) همراه نوار گرافیکی پیشرفت را نشان می‌دهد. با توجه به تعریف چهارراه، حجم کل ترافیک باید در دو خیابان متقاطع چهارراه بدست آید تا براساس میزان حجم ترافیک در هریک از دو خیابان، چراغ‌ها کنترل شوند. این مقدار از جمع حجم‌ها در هردو ورودی مقابل هم در چهارراه که یک خیابان واحد گذرنده از چهارراه را می‌سازند، بدست می‌آید. سپس با مقایسه دو مقدار بدست آمده از دو خیابان متقاطع می‌توان به متدهای برای کنترل چراغ‌های راهنمایی یک چهارراه دست یافت.

خروجی به شش صورت نمایش داده می‌شود: ۱-نمایش درصد حجم ترافیک هر ورودی و هر لاین بصورت جداگانه و بتفکیک تعداد لاینها. ۲-نمایش درصد حجم کل ترافیک در هر چهار ورودی. ۳-نمایش میزان حجم کل ترافیک بصورت نوارپیشرفت برای هر چهار ورودی. ۴-نمایش درصد حجم ترافیک هر خیابان گذرنده از چهارراه برای هر دو خیابان مقاطع. ۵-نمایش میزان حجم ترافیک در هر خیابان گذرنده از چهار راه به صورت نوار سه رنگ قرمز، سبز و زرد برای هر دو خیابان. ۶-نمایش تصویر ورودی بصورت بخش-بندی شده و تمایز خودروها در محدوده ورودی به چهارراه برای هر چهار ورودی. نتایج چهار ورودی چهارراه و در واقع خروجی کامل و نهایی سیستم در شکل ۱۴ آمده است.



شکل ۱۴ حجم ترافیک نهایی و لاین‌های ورودی‌های چهارراه

شکل ۱۳(الف) تصویر خروجی، (ب) میزان ترافیک

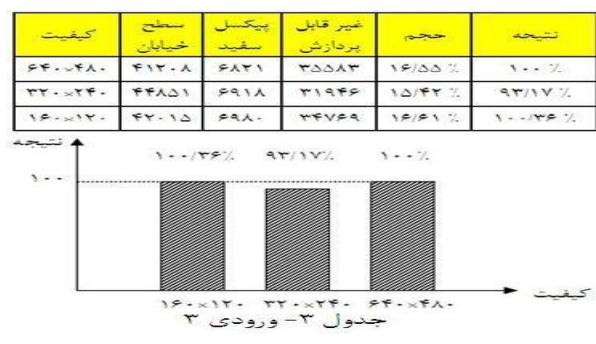
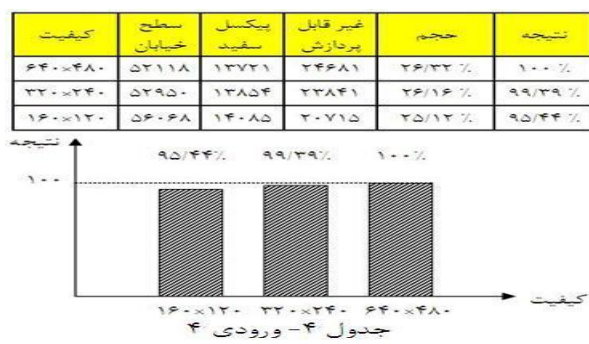
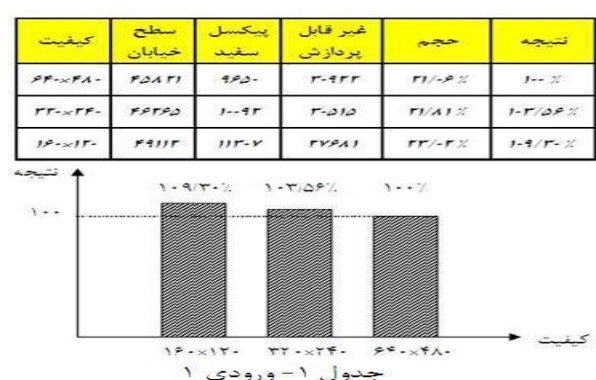
۵- نتایج

این سیستم با زبان برنامه‌نویسی C++ پیاده سازی شده و با چهار رشته تصویر از چهار خیابان منتهی به چهارراه، هر یک شامل ۱۰۰۰ فریم با سه درجه تفکیک مختلف روی یک کامپیوتر PV-1GHZ با ۱28MB RAM و چهار ورودی همزمان تست گردیده است. نتایج با استفاده از تصاویر با کیفیت‌های مختلف و درجات بالا ۶۴۰×۴۸۰، متوسط ۳۲۰×۲۴۰ و ضعیف ۱۶۰×۱۲۰ پیکسل بدست آمده که نتایج تصاویر با درجه بالا و متوسط با میدان دید بیشتر نزدیک بهم بوده و با تصاویر ضعیف و میدان دید کم اختلاف بیشتر دارند. بدلیل اینکه سیستم بصورت فازی عمل می‌کند و نمی‌توان نتایج دقیق و قابل مقایسه رقمی از آن بدست آورد لذا با توجه به نتایج خوب حاصل از تصاویر درجه بالا از آنها بعنوان تصاویر مرجع استفاده شده و

نتایج آن بعنوان معيار (يعني ۱۰۰٪) انتخاب و سایر تصاویر با این نتایج سنجیده می‌شوند. سیستم با چهار رشته تصویر از چهار خیابان منتهی به چهارراه، هر یک شامل ۱۰۰ فریم و سه درجه تفکیک مختلف تست گردیده و نتایجی حاصل شدند. این نتایج به همراه نمودارهای مربوطه در جداول ۱ تا ۴ آمده‌اند. نتایج بدست آمده میانگینی از ۱۰۰ تصویر می‌باشند. در جداول ستون اول بیانگر درجه تصویر (۶۴۰×۴۸۰ بالا، ۳۲۰×۲۴۰ متوسط و ۱۶۰×۱۲۰ پایین) است. ستون دوم، تعداد پیکسل‌های سطح خیابان یا همان ورودی به تقاطع می‌باشد. ستون سوم، تعداد پیکسل‌های سفید نشان‌دهنده خودروهای در حال حرکت به سمت چهارراه است. ستون چهارم پیکسل‌های غیر قابل پردازش تصویر است که از نتایج نهایی حذف شده‌اند. ستون پنجم، میزان اشغال خیابان یا تعداد پیکسل‌های سفید به سطح خیابان است. در ستون آخر نتایج بصورت درصد بر حسب تصویر درجه بالا محاسبه شده است. چون تصاویر با درجه متوسط، نتایج خوب و قابل قبولی در مقایسه با تصاویر با کیفیت بالا ارائه می‌کنند و با توجه به اینکه کیفیت این دسته تصاویر، به تصاویر دوربین‌های ترافیکی نزدیک‌تر است، تصاویر بدرجه متوسط بعنوان تصاویر پیش‌فرض در سیستم در نظر گرفته شدند.

کیفیت	سطح خیابان	پیکسل سفید	غیر قابل پردازش	حجم	نتیجه
۶۴۰×۴۸۰	۳۹۲۶۸	۵۱۱۵	۳۷۵۲۵	۱۳/۰۲٪	۹۰۰٪
۳۲۰×۲۴۰	۴۲۱۲۵	۵۲۸۳	۳۴۶۷۱	۱۳/۵۴٪	۹۶/۳۱٪
۱۶۰×۱۲۰	۴۵۷۲۹	۵۴۰۵	۳۱۰۲۸	۱۱/۸۱٪	۹۰/۷۰٪

جدول ۲ - ورودی ۲



مراجع

- [1] B. M. C. Basnayake, Y. K. Rajapakse, P. P. M. Dabare, Coordination of Closely located Traffic Signals, Final Year Project Report, Department of Civil Engineering, University of Moratuwa, Srilanka, September 2000.
- [2] D. Beymer, P. McLauchlan, B. Coifman, J. Malik, A Real-time Computer Vision System for Measuring Traffic Parameters, Computer Society Conference on Computer Vision and Pattern Recognition (CVPR), 1997.
- [3] J. A. K. S. Jayasinghe, G. G. D. NISHANTHA, A CCTV Image Grabber for Vehicular Parameter Detection, Symposium on Research for Industry, University of Moratuwa, Sri Lanka, November 1999.
- [4] A. Rosenfeld, Image Analysis: Problems, Progress and Prospects, Pattern Recognition, Volume 17, Number 1, 1984, pp. 3-12.
- [5] T. O. Binford, Survey of Model-Based Image Analysis Systems, The International Journal of Robotics Research Vol.1, No. 1, Spring 1982.
- [6] R. L. Kashyap, R. Chellappa, Stochastic Models for Closed Boundary Analysis: Representation and Reconstruction, IEEE Transactions on Information Theory, Volume IT-27, Number 5, September 1981, pp. 627-637.
- [7] R. M. Haralick, Digital Step Edges from Zero Crossing of Second Directional Derivatives, IEEE Transactions on Pattern Analysis and Machine Intelligence, Volume PAMI-6, Number1, January 1984, pp. 58-68.
- [8] I. E. Abdou, W. K. Pr att, Quantitative Design and Evaluation of Enhancement Thresholding Edge Detectors, Proceedings of the IEEE, Volume 67, Number 5, May 1979, pp. 753-763.
- [9] A. Aggrawal, Design and Implementation of a Real Time Object Tracking System, <http://www.cs.washington.edu/homes/amit/papers/BTP/node26.html>

- [10] J. Sklansky, On the Hough Technique for Curve Detection, IEEE Transactions on Computers, Volume C-27, Number 10, October 1978, pp. 923-926.
- [11] R. Chellappa, A. A. Sawchuck, Digital Image Processing and Analysis, Volume 2, Digital Image Analysis, IEEE Computer Society Press, 1985, pp. 220-225.
- [12] P. C. Chen, T. Pavlidis, Image Segmentation as an Estimation Problem, Comput. Graph. Image Processing, Volume 12, Feb. 1980, pp. 153-172.
- [13] P. C. Chen, T. Pavlidis, segmentation by Texture Using Correlation, IEEE Transactions on Pattern Analysis and Machine Intelligence, Volume PAMI-5, January 1983, pp. 64-69.
- [14] R. Ohlander, K. Price, D. R. Reddy, Picture Segmentation Using a Recursive Region Splitting Method, Computer Graphics and Image Processing, Volume 8, 1978, pp. 313-333.
- [15] A. M. Nazif, M. D. Levine, Low Level image Segmentation: An Expert System, IEEE Transactions on Pattern Analysis and Machine Intelligence, Volume PAMI- 6, Number 5, September 1984, pp. 555-577.
- [16] J. K. Aggrawal, R. O. Duda, Computer Analysis of Moving Polygonal Images, IEEE Transactions on Computers, Volume C-24, Number 10, October 1975, pp. 966-976.
- [17] J. W. Roach, J. K. Aggrawal, Determining the Movement of Objects from a Sequence of Images, IEEE Transactions on Pattern Analysis and Machine Intelligence, Volume PAMI-2, Number 6, November 1980, pp. 554-562.
- [18] R. Y. Tsai, T. S. Huang, Estimating Three-Dimensional Motion Parameters of a Rigid Planar Patch, IEEE Transactions on Acoustics, Speech

and Signal Processing, Volume ASSP-29, Number 6, December 1981, pp. 1147-1152.

[19] R. E. Kalman, A new Approach to Linear Filtering and Predicting Problems, Trans. ASME. Ser. D, Basic Engineering, 82(1960), pp. 35-45.

[20] T. J. Broida, R. Chellapa, Estimation of Object Motion Parameters from Noisy Images, Proc. IEEE Comput. Soc. Conf. Comput. Vision Patt. Recog., June 1985, pp. 82-88.

[21] R. Jain, Extraction of Motion Information from Peripheral Processes, IEEE Transactions on Pattern Analysis and Machine Intelligence, Volume PAMI-3, Number 5, September 1981, pp. 489-503.

[22] G. Adiv, Determining Three-Dimensional Motion and Structure from Optical Flow Generated by Several Moving objects, IEEE Transactions on Pattern Analysis and Machine Intelligence, Volume PAMI-7, Number 4, July 1985, pp. 384-401.

[23] E. Y. Kim, S. H. Pank, K. Jung, H. J. Kim, Genetic Algorithm-based Segmentation of Video Sequences, IEEE Transactions on Pattern Analysis and Machine Intelligence, Volume PAMI-7, Number 4, July 1985, pp. 367-373.

[24] A. Bors, NOBLESSE Project (ESPRIT LTR Project 20229)
http://poseidon.csd.auth.gr/Projects/Nobless/Research/Mot_est.html

[25] E. Adelson, Mechanics for Motion Perception, Optics and Photonics News, Optical Society of America, USA, August 1991.

[26] Artificial Intelligence Laboratory at Kyungpook National University, Vehicle Detection and Tracking in a Traffic Scene,
<http://ailab.knu.ac.kr/TrafficSurveillanceSystem/tracking.htm>

- [27] D. Koller, K. Daniilidis, H. H. Nagel, Model-based Object Tracking in Monocular Image Sequences of Road Traffic Scenes, IJCV 10:3 257-281, 1993, Kluwer Publications, Netherlands.
- [28] F. Dellart, D. Pomerlain, C. Thorpe, Model-based Car Tracking with a Road Follower, International Conference on Robotics and Automation, May, 1998.
- [29] F. Marmoiton, F. Collarge, J. P. Derubin, J. Alison, D Localization of a Car Observed Through a Monocular Video Camera, University Blaise Pascal, France, 1997.
- [30] S. M. Smith, ASSET-2: Real-Time Motion Segmentation and Shape Tracking, IEEE Transactions on Pattern Analysis and Machine Intelligence, Volume 17, Number 8, August 1995.
- [31] David Beymer, Traffic Surveillance Home Page, <http://www.cs.berkeley.edu/~beymer/traffic-surveill.html>.
- [32] E. Ayers, VIP for ITS – Analysis of Emerging Technologies – Assignment 7, March 20, 1997, <http://tpac.gcatt.gatech.edu/et/>.
- [33] G. C. de Silva, Automation of Traffic Flow Measurement Using Video Images, Department of Computer Science and Engineering, University of Moratuwa, Sri Lanka, February, 2001.
- [34] Ying Ming, Jingjue Jiang, Jun Ming, Background Modeling and Subtraction Using a Local-Linear-Dependence-Based Cauchy Statistical Model, Dec 2003.
- [35] D. Gutchessy, M. Trajković, E. Cohen-Solalz, D. Lyonsz, A. K. Jainy, A Background Model Initialization Algorithm for Video Surveillance.
- [36] Wei Zhang, Xiang Zhong Fang, Wei Yao Lin, Moving vehicles segmentation based on Gaussian motion model, Institute of Image

- Communication and Information Processing, Shanghai Jiao Tong University, Shanghai, P.R. China, Visual Communications and Image Processing, 2005.
- [37] R. C. Gonzalez, R. E. Woods, Digital Image Processing, Prentice-Hall, Inc, Upper Saddle River, New Jersey, 2001.
- [38] A.S.K. Chakravarthy, V.D.S. Phaneendhar, Subarna Sadhukhan, A Report on Traffic Vision (Traffic Surveillance Using Computer Vision) International Intstitute of Information Technology, June 2002.
- [39] Mukesh C. Motwani, Mukesh C. Gadiya, Rakhi C. Motwani, Survey of Image Denoising Techniques.
- [40] H.Y.CHENG, Q.Z.WU, K.C. FAN , B.S. JENG, Binarization Method Based on Pixel-level Dynamic Thresholds for Change Detection in Image Sequences, INFORMATION SCIENCE AND ENGINEERING JOURNAL ,Volume 22, 2006, pp. 545-557.
- [41] D. R. Magee, Tracking multiple vehicles using foreground, background and motion models, Image and Vision Computing, Volume 22, 2004, pp. 143-155.
- [42] P. L. Rosin, T. Ellis , Image difference threshold strategies and shadow detection, INFORMATION SCIENCE AND ENGINEERING JOURNAL ,Volume 8, 2005, pp. 345-354.
- [43] C. Jiang and M. O. Ward. Shadow identification. In Proc. CVPR, pp.606–612, 1992.

¹Traffic Measurement

²Background Image

³Update

⁴Traffic Commands

⁵Fuzzy Method

⁶Light

⁷Real Time

⁸Traffic Analysis

⁹Segmentation

¹⁰Region Growing

¹¹Video Camera

¹²Inductive Loop

¹³Sensors

¹⁴	Ultrasound
¹⁵	Offline
¹⁶	Reference Image
¹⁷	Lane
¹⁸	Light
¹⁹	Dynamic varieties
²⁰	Shadow
²¹	Dynamic Differential
²²	Object Mask
²³	Threshold
²⁴	Movement Mask
²⁵	Learning Parameter
²⁶	Background Model Sensitivity
²⁷	Input Section
²⁸	Gray level
²⁹	Median
³⁰	Regional
³¹	Difference
³²	Global Thresholding